

2019

Weekly / Semanal Influenza Report EW 13/ Reporte de Influenza SE 13

Regional Update: Influenza & Other Respiratory Viruses /
Actualización Regional: Influenza y Otros virus respiratorios



April 10, 2019
10 de abril de 2019

Data as of April 5, 2019/
Datos hasta el 5 de abril de 2019

Prepared by PHE/IHM/Influenza Team/
Realizado por PHE/IHM/Equipo de Influenza

WEEKLY REPORT DATA SOURCES

The information presented in this update is based on data provided by Ministries of Health and National Influenza Centers of Member States to the informatics global platforms
http://www.who.int/influenza/gisrs_laboratory/flunet/en/
and http://www.who.int/influenza/surveillance_monitoring/fluid/en/;
and reports/weekly bulletins that Ministries of Health published on its website or shared with PAHO/WHO.

La información presentada en esta actualización se obtiene a partir de los datos notificados por los Ministerios de Salud y los Centros Nacionales de Influenza de los Estados Miembros a las plataformas informáticas globales de la OPS/OMS: [FluNet](#) y [Fluid](#); y de los informes/boletines semanales que los Ministerios de Salud publican en sus páginas web o comparten con OPS/OMS.

PAHO INFLUENZA LINKS

PAHO interactive data / Datos interactivos de la OPS:

PAHO FluNet: http://ais.paho.org/php/viz/ed_flu.asp

PAHO Fluid: <http://ais.paho.org/php/viz/flumart2015.asp>

Influenza Regional Reports / Informes regionales de influenza

In English: <https://www.paho.org/hq/influenzareport>

En español: www.paho.org/reportesinfluenza

Severe acute respiratory infections network - SARInet
Red de las infecciones respiratorias agudas graves - SARInet:

<http://www.sarinet.org>

[Go to Index/](#)
[Ir al Índice](#)

REPORT INDEX

ÍNDICE DE LA ACTUALIZACIÓN

Section	Content	Page
1	<u>Weekly Summary / Resumen Semanal</u>	4
2	<u>Overall Influenza and RSV circulation / Circulación general de los virus influenza y VSR</u>	6
3	<u>Weekly and Cumulative numbers / Números semanales y acumulados</u>	7
4	<u>Epidemiological and Virologic update by country / Actualización epidemiológica y virológica por país</u>	8
5	<u>More countries information / Más información de países</u>	27
6	<u>Acronyms / Acrónimos</u>	29

WEEKLY SUMMARY (ENGLISH)

North America: Influenza A(H3N2) viruses caused an increased amount of the activity in [Canada](#) and in the [United States](#). In [Mexico](#), influenza activity continued decreasing.

Caribbean: Influenza virus activity decreased throughout the sub-region, while RSV activity slightly increased. In [Dominican Republic](#) influenza detections increased and in [Cuba](#), RSV detections continued increasing.

Central America: Influenza activity continued low across the sub-region. [Guatemala](#) reported sustained moderate influenza activity. [El Salvador](#) reported increased RSV activity.

Andean Region: Influenza activity decreased in the sub-region with influenza A(H3N2) predominance. RSV activity increased in [Bolivia](#).

Brazil and Southern Cone: Overall low activity of influenza was reported throughout the subregion.

RESUMEN SEMANAL (ESPAÑOL)

América del Norte: influenza A(H3N2) ha causado una mayor cantidad de actividad en [Canadá](#) y en los [Estados Unidos](#). En [México](#), la actividad de influenza siguió disminuyendo.

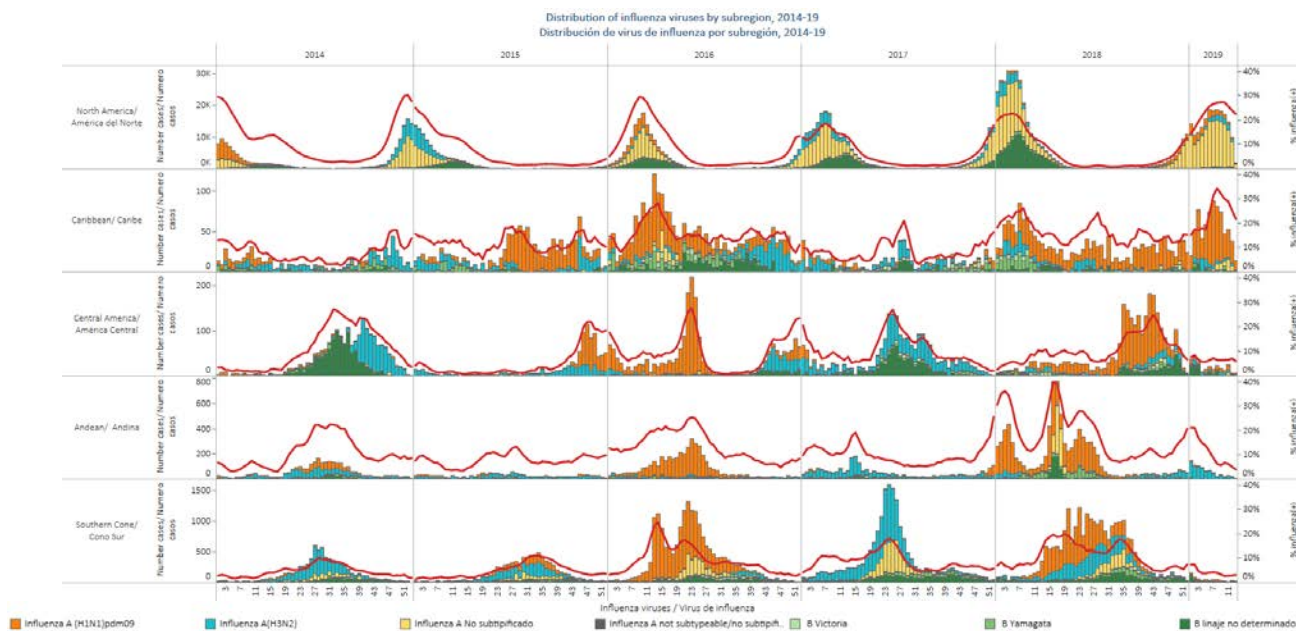
Caribe: la actividad de influenza disminuyó en toda la subregión, mientras que la actividad del VRS aumentó ligeramente. En [República Dominicana](#), las detecciones por influenza aumentaron ligeramente y en [Cuba](#), las detecciones de VSR continuaron aumentando.

América Central: la actividad de influenza continuó baja en toda la subregión. [Guatemala](#) reporta actividad moderada y sostenida de influenza. El Salvador reportó mayor actividad de VRS.

Región andina: la actividad de influenza disminuyó en la subregión con predominio de influenza A (H3N2). La actividad de VRS aumentó en [Bolivia](#).

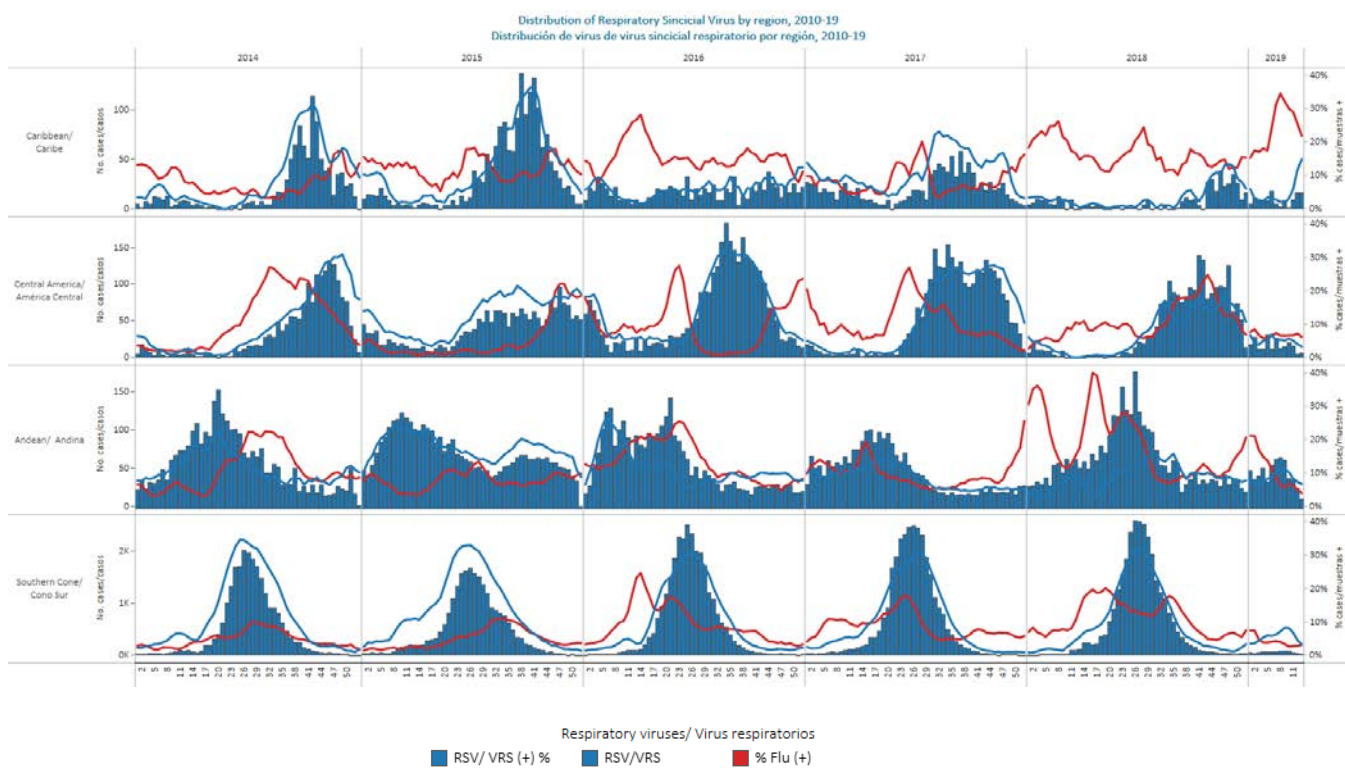
Brasil y Cono Sur: en general se reportó una baja actividad de influenza en toda la subregión.

Influenza circulation by subregion, 2014-19 Circulación de virus influenza por subregión, 2014-19



Respiratory syncytial virus (RSV) circulation by subregion, 2014-19

Circulación de virus respiratorio sincitrial (VRS) por subregión, 2014-19



*To view more lab data, view [here](#). / Para ver más datos de laboratorio, vea [aquí](#).

Weekly and cumulative numbers of influenza and other respiratory viruses, by country and EW, 2019¹ Números semanales y acumulados de influenza y otros virus respiratorios, por país y SE, 2019²

		EW 12 & 13, 2019 / SE 12 & 13, 2019																		
		N muestras	FLUAH3	FLU H1N1	A non-subtyped*	FLUA NoSa	B Victoria	B Yamagata	B linaje no determinado	Influenza (+) %	Adenovir...	Parainflue...	VSR	% RSV/VSR (+)	Bocavirus	Coronavi...	Metapn...	Rinovirus	% All Positive Samples (+)	
North America/ América del Norte	Canada	9,957	359	143	1,264				164	20.5%	58	145	651	4%	154	176	171	28.0%		
	Mexico	651	50	30	0	12	18	33	12	24.4%	0	1	5	1%	0	0	0	1	25.2%	
	USA	32,663	573	268	6,539	0	20	6	393	23.9%									23.9%	
Caribbean/ Caribe	Cuba	49	0	15	0	0	0	0	0	22.6%	0	2	9	18%	0	3	0	0	48.4%	
	Dominican Repub..	14	3	0						22.2%									22.2%	
	Jamaica	21	0	2	6	0	0	0	1	46.2%	0	0	0	0%					46.2%	
	Suriname	19	1	6	0	0	0	0	0	28.0%	0	0	0	0%	0	0	0	0	28.0%	
Central America/ América Central	El Salvador	38	0	0	0	0	0	0	0	0.0%	2	2	6	15%	0	0	0	0	22.7%	
	Guatemala	26	3	3	1			1		44.2%	2	3							1	60.5%
	Honduras	15	0	0	0	0	0	0	1	6.3%	1	0	0	0%					12.5%	
	Nicaragua	100			0				1	0.5%		2	1	1%					1	2.6%
	Panama	20	0	0	0	0	0	0	0	0.0%	1	1	0	0%	0	0	0	9	50.0%	
Andean/ Andina	Bolivia	41	1	0	0	0	0	0	0	2.5%	0	0	3	6%	0	0	0	0	8.5%	
	Colombia	110	5	2	0				0	6.4%	5	3	16	15%	2	2	2	3	36.4%	
	Ecuador	69	3	0						2.8%			4	7%					9.4%	
	Peru	67	4	1	0	0	0	1	0	7.0%	0	0	2	2%	0	0	1	2	11.6%	
	Venezuela	1	0	1	0	0	0	0	0	100.0%	0	0	0	0%	0	0	0	0	100.0%	
Brazil & Southern Cone/ Brasil y Cono Sur	Brazil	151	1	3	0				13	10.0%	3	3	9	6%					4	21.8%
	Chile	700	10	5	2			1	1	2.5%	22	23	11	1%					1	9.9%
	Paraguay	103	1	1	0	0	0	0	0	1.6%	0	1	14	12%	0	0	2	0	14.9%	
	Uruguay IRAG	8		1	0			1		23.1%									23.1%	
Grand Total		44,823	1,014	481	7,812	12	38	43	586	21.8%	94	186	731	1%	2	159	184	190	24.8%	

		EW 10 - EW 13, 2019 / SE 10 - SE 13, 2019																
		N samples/muestras	Influenza A/H3N2*	Influenza A/H1N1 pmid09*	Influenza A non-subtyped*	Influenza B Victoria*	Influenza B Yamagata*	Influenza B undetermined	Influenza (+) %	Adenovirus*	Parainfluen...	VSR	% RSV/VSR (+)	Bocavirus*	Coronaviru...	Melapneu...	Rinovirus*	% All Positive Samples (+)
North America/ América del Norte	Mexico & Central America	30,147	1,382	702	4,657	0	0	456	10.9%	165	365	2,146	5.6%	0	494	425	439	29.4%
	Mexico	2,526	289	149	0	80	130	34	28.5%	1	3	11	0.4%	0	2	2	4	29.4%
	USA	129,442	3,335	2,035	29,199	80	43	1,174	21.7%	0	0	0		0	0	0	0	21.7%
Caribbean/ Caribe	Caribbean	31	0	4	0	0	0	1	16.1%	0	0	0	0.0%	0	0	0	0	16.1%
	Belize	15	1	4	0	0	0	0	33.3%	0	0	0		0	0	0	0	33.3%
	CARPHA	175	0	44	0	0	0	0	25.1%	0	6	21	12.0%	0	11	0	1	48.0%
	Dominican Repub	47	4	1	0	0	4	0	19.1%	0	3	2	4.3%	0	0	0	0	29.8%
	Jamaica	121	5	17	28	0	0	5	45.5%	0	1	0	0.0%	0	0	0	0	46.3%
Central America/ América Central	Costa Rica	52	2	2	5	0	0	0	17.3%	9	0	10	19.2%	0	0	0	0	53.8%
	El Salvador	127	0	1	0	0	0	0	0.8%	10	6	20	15.7%	0	0	0	0	29.1%
	Guatemala	129	13	16	2	0	1	0	33.3%	3	14	1	0.8%	0	0	7	0	52.7%
	Honduras	73	2	1	0	0	0	2	6.8%	1	0	6	8.2%	0	0	0	0	16.4%
	Nicaragua	429	0	0	0	0	0	2	0.5%	1	7	2	0.5%	0	0	1	0	3.0%
Andean/ Andina	Mexico & Central America	68	0	1	0	0	0	0	1.5%	3	6	0	0.0%	0	0	1	26	54.4%
	Andean Region	313	11	0	0	0	0	0	3.5%	4	0	17	5.4%	0	0	0	0	10.2%
	Bolivia	367	17	11	0	0	3	8.7%	16	11	54	15.1%	7	7	8	8	40.1%	
	Colombia	244	4	0	0	0	0	0	1.6%	0	0	18	7.4%	0	0	0	0	9.0%
	Ecuador	240	21	4	0	0	6	0	12.9%	0	1	8	3.3%	0	0	2	6	20.0%
Brazil & Southern Cone/ Brasil y Cono Sur	Venezuela	1	0	1	0	0	0	0	100.0%	0	0	0	0.0%	0	0	0	0	100.0%
	Argentina	228	1	0	4	0	0	1	2.6%	15	5	33	14.5%	0	0	1	0	26.3%
	Brazil	359	2	12	0	0	0	15	8.1%	11	12	52	14.5%	0	0	0	5	30.4%
	Chile	2,232	24	16	5	0	3	3	2.3%	68	69	27	1.2%	0	0	3	0	9.8%
	Chile IRAG	101	0	0	1	0	0	0	1.0%	0	4	4	4.0%	0	0	0	2	11.9%
	Paraguay	332	1	3	0	0	0	0	1.2%	0	1	46	13.9%	0	0	5	0	16.9%
	Paraguay IRAG	172	0	1	0	0	0	0	0.6%	3	1	31	18.0%	0	0	2	0	22.1%
	Uruguay ETI	5	0	0	0	0	0	0	0.0%	0	0	0		0	0	0	0	0.0%
	Uruguay IRAG	18	0	1	0	0	2	0	16.7%	0	0	0		0	0	0	0	16.7%
Grand Total		176,047	5,115	3,046	33,901	160	189	1,696	25.1%	310	515	2,509	1.4%	7	514	457	491	27.8%

¹ The detection of respiratory viruses other than influenza depends on the diagnostic capacity of each country and monitoring system. The absence of report of other respiratory viruses does not indicate the absence of their circulation.

² La detección de otros virus respiratorios diferentes a influenza depende de la capacidad diagnóstica de cada país y del sistema de vigilancia establecido. El que no se reporten otros virus respiratorios, no significa, ni indica la ausencia de circulación viral.

North America / América del Norte

Canada / Canadá

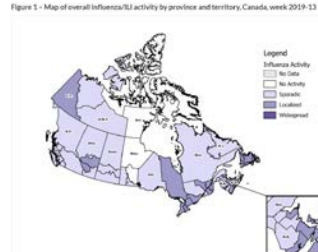
- During EW 9 to EW 13, influenza A(H3N2) increased, although influenza A(H1N1)pdm09 predominated among detections, influenza B co-circulated also (Graph 1). During EW 13, RSV positivity continued to decrease and influenza detection remained similar to previous weeks (Graph 2); 21 regions reported localized activity: Alta.(2), Ont.(6), Que.(2), N.S.(3), N.B.(3), P.E.I.(1), Y.T.(1) and N.L.(3) (Graph 3). After peaked in EW 52, the percentage of ILI visits slightly increased and approached the five-year average (seasons 2013-14 to 2017-18) (Graph 4). Overall, pediatric hospitalizations decreased and were below the average number of hospitalizations from previous seasons (2010-11 to 2017-18) (Graph 5). As of EW 13, 2019, a total of 1,116 pediatric hospitalizations and 197 pediatric ICU admissions were reported and 43 deaths were among adults (≥ 16 years). / De la SE 9 a la SE 13, influenza A(H3N2) aumentó, aunque influenza A(H1N1)pdm09 predominó entre las detecciones e influenza B circuló simultáneamente (gráfico 1). Durante la SE 13, la positividad del VRS continuó disminuyendo y la detección de influenza se mantuvo similar a las semanas anteriores (Gráfico 2); 21 regiones informaron actividad localizada de influenza: Alta. (2), Ont. (6), Que. (2), NS (3), NB (3), PEI (1), YT (1) y NL (3) (Gráfica 3). Despues de alcanzar su punto máximo en la SE 52, el porcentaje de visitas de ETI aumentó ligeramente y alcanzó el promedio de cinco años (temporadas 2013-14 a 2017-18) (Gráfico 4). En general, las hospitalizaciones pediátricas disminuyeron y estuvieron por debajo del número promedio de hospitalizaciones de temporadas anteriores (2010-11 a 2017-18) (Gráfico 5). A partir de la SE 13, 2019, se informaron un total de 1.116 hospitalizaciones pediátricas y 197 ingresos pediátricos a la UCI y 43 muertes ocurrieron en los adultos (≥ 16 años).

Graph 1. Canada: Influenza virus distribution by EW, 2015-19, EW 13



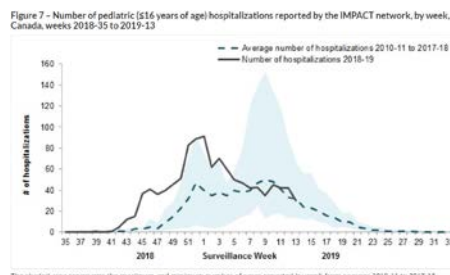
Graph 3. Canada: Influenza activity by provincial and territorial influenza surveillance regions, 2017-2018, EW 13, 2019

Actividad de influenza por regiones de vigilancia de influenza provinciales y territoriales, 2017-2018, SE 13, 2019



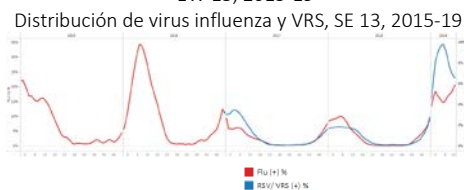
Graph 5. Canada: Number of pediatric hospitalizations (≤ 16 years old) by EW, EW 35, 2018 to EW 13, 2019

Número de hospitalizaciones pediátricas (≤ 16 años) por SE, SE 35 2018 a SE 13, 2019



*To view more epi data, view [here](#). / Para ver más datos epi, vea [aquí](#).

Graph 2. Canada: Influenza and RSV distribution, EW 13, 2015-19



Graph 4. Canada: Percentage of ILI visits by sentinel sites, EW 13, 2019 (in comparison to 2013-2018 seasons)

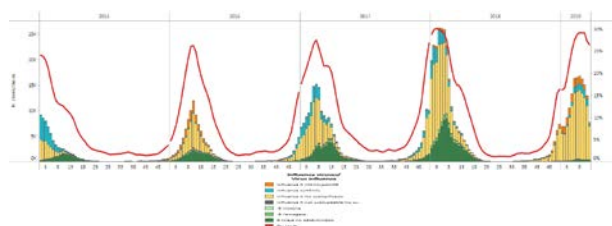
Porcentaje de casos de ETI por sitio centinela, SE 13, 2019 (en comparación con temporadas 2013-2018)



- In EW 12, overall influenza activity decreased as well as RSV activity (Graphs 1,2). During EW 13, six states (Kentucky, Louisiana, Missouri, Rhode Island, South Carolina, and Virginia) experienced high ILI activity compared with 20 states that experienced the same level of ILI activity during EW 12 (Graph 3). Although above the national baseline (2.2%), ILI activity decreased (3.2%) compared to previous weeks. The range for the percentage of outpatient visits for ILI ranged from 2.4% to 4.6% (Graph 4). Overall, 16,274 laboratory-confirmed influenza-associated hospitalizations were reported between October 1, 2018 and March 30, 2019. The highest rate of hospitalization was among adults aged ≥ 65 (181.8 per 100,000 pop), followed by adults aged 50-64 (71.9 per 100,000 pop) (Graph 5). Up to EW 12, a total of 82 influenza-associated pediatric deaths were reported. After peaking in EW 6, the number of influenza-associated pediatric deaths decreased. (Graph 6). / En general, en la SE 12, la actividad de la influenza disminuyó, así como la actividad del VRS (Gráficos 1,2). En la SE 13, seis estados (Kentucky, Louisiana, Missouri, Rhode Island, Carolina del Sur y Virginia) experimentaron una alta actividad de ETI en comparación con 20 estados que experimentaron el mismo nivel de actividad de ETI en la SE 12 (Gráfico 3). Si bien por encima del nivel nacional de referencia (2,2%), la actividad de ETI (3,2%) disminuyó en comparación con las semanas anteriores. El rango del porcentaje de visitas ambulatorias por ETI varió de 2,4% a 4,6% (Gráfica 4). En total, se notificaron 16.274 hospitalizaciones asociadas a la influenza confirmadas en el laboratorio entre el 1 de octubre de 2018 y el 30 de marzo de 2019. La tasa más alta de hospitalización ocurrió en los adultos ≥ 65 años (181,8 por 100.000 hab.), seguidos de los adultos de 50 a 64 años (71,9 por 100.000 hab.) (Gráfico 5). Hasta la SE 12, se reportaron un total de 82 muertes pediátricas asociadas a influenza. Despues de alcanzar el pico en la SE 6, el número de muertes pediátricas asociadas a la influenza disminuyó. (Gráfico 6).

Graph 1. US: Influenza virus distribution by EW 12, 2015-19

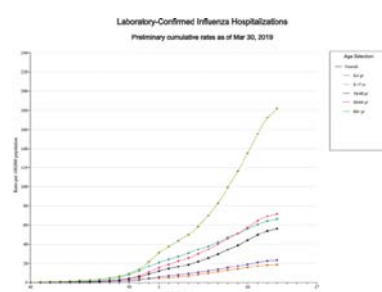
Distribución de virus de influenza por SE 12, 2015-19

**Graph 3.** US: ILI activity level indicator determined by state, EW 13, 2018-2019

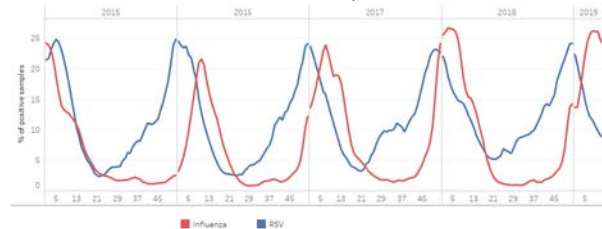
Indicador de nivel de actividad de ETI por estado, SE 13, 2018-2019

**Graph 5.** US: Laboratory-confirmed influenza hospitalizations rates (per 100,000 population) by age group and EW, EW 13, 2018-2019

Tasas de hospitalizaciones (por 100.000 habitantes) por influenza confirmada por el laboratorio, por grupo de edad y SE, SE 13, 2018-2019

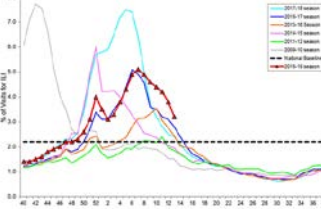
**Graph 2.** US: Influenza and RSV distribution, EW 12, 2015-19

Distribución de virus influenza y VRS, SE 12, 2015-19

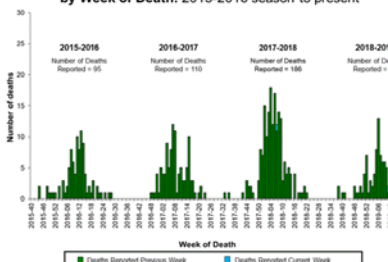
**Graph 4.** US: Percentage of visits for ILI, 2018-2019. EW 13

Porcentaje de visitas por ETI, 2018-2019. SE 13

Percentage of Visits for Influenza-like Illness (ILI) Reported by the U.S. Outpatient Influenza-like Illness Surveillance Network (ILINet), Weekly National Summary, 2018-2019 and Selected Previous Seasons

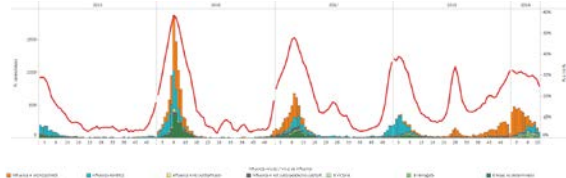
**Graph 6.** US: Influenza-associated pediatric deaths.EW 12, 2018-2019, in comparison to (2015-16 to 2017-18)
Mortalidad pediátrica asociada a influenza. SE 12, 2018-2019, en comparación con (2015-16 a 2017-18)

Number of Influenza-Associated Pediatric Deaths by Week of Death: 2015-2016 season to present

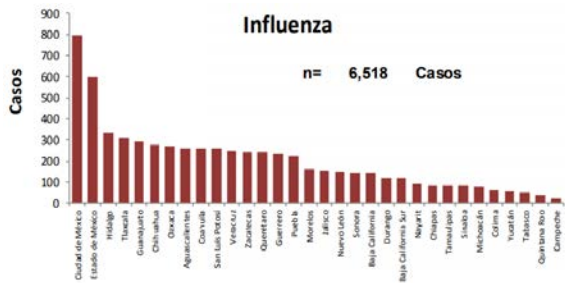


- During EW 13, influenza activity decreased with influenza A(H1N1)pdm09 predominance during the season; an increase of influenza A(H3N2) since EW 7 was observed. After peaked in EW 1 and 7, RSV activity decreased (Graphs 1,2). During EW 13, 6,518 cumulative influenza-associated SARI/ILI cases were reported, predominating in Mexico City, Mexico State, Hidalgo, Tlaxcala and Guanajuato (Graph 3); in addition, 745 influenza-associated SARI/ILI deaths were reported predominating in Mexico State, Hidalgo, Mexico City, Puebla and Guanajuato (Graph 4). / En la SE 13, la actividad de influenza disminuyó con predominio de influenza A(H1N1)pdm09 durante la temporada; se observó un aumento de influenza A(H3N2)desde la SE 7. Después de alcanzar el máximo en la SE 1 y 7, la actividad del VRS disminuyó (Gráficos 1,2). En la SE 13, se notificaron 6.518 casos acumulados de IRAG/ETI asociados a influenza, con predominio en la Ciudad de México, Estado de México, Hidalgo, Tlaxcala y Guanajuato (Gráfica 3); además, se reportaron 745 muertes por IRAG/ETI asociadas a la influenza con predominio en los estados de México, Hidalgo, Ciudad de México, Puebla y Guanajuato (Gráfico 4).

Graph 1. Mexico: Influenza virus distribution by EW 2015-19, EW 13
Distribución de virus influenza por SE 2015-19, SE 13

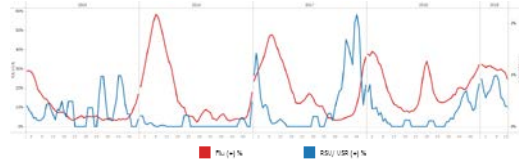


Graph 3. Mexico: SARI/ILI-influenza cases EW 13, 2018/19
Casos de IRAG/ETI asociados a influenza SE 13, 2018/19

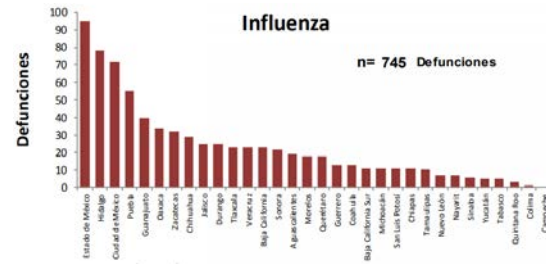


*To view more epi data, view [here](#). / Para ver más datos epi, vea [aquí](#).

Graph 2. Mexico: Influenza and RSV distribution, EW 13, 2015-19
Distribución de virus influenza y VRS, SE 13, 2015-19



Graph 4. Mexico: SARI/ILI-influenza deaths EW 13, 2018/19
Casos fallecidos por IRAG/ETI asociados a Influenza SE 13, 2018/19



Caribbean / Caribe**Cuba**

- Since EW 6, increased influenza detection was reported with predominance of influenza A(H1N1)pdm09 (Graph 1). Since EW 49, 2018, a downward trend of RSV circulation was observed, though since EW 9, RSV activity slightly increased (Graph 2). Overall, SARI case counts increased slowly since EW 1, 2019 and remained within 2014-17 season levels for the same period (Graph 3). / Desde la SE 6, se observó un aumento en la detección de influenza con predominio de influenza A(H1N1)pdm09 (Gráfico 1). Desde la SE 49, 2018, se observó una tendencia a la disminución en la circulación del VRS, aunque desde la SE 9, la actividad del VRS aumentó ligeramente (Gráfico 2). En general, los recuentos de casos de IRAG aumentaron lentamente desde la SE 1, 2019 y se mantuvieron dentro de los niveles de la temporada 2014-17 durante el mismo período (Gráfico 3).

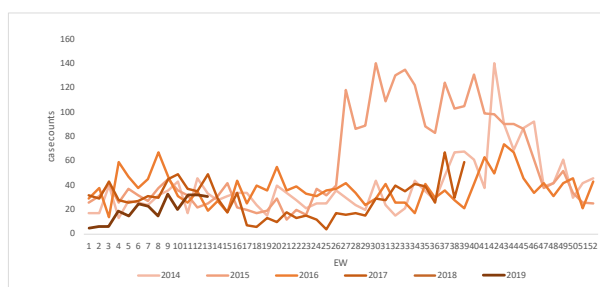
Graph 1. Cuba: Influenza virus distribution by EW, EW 12, 2015-19
Distribución de virus influenza por SE, SE 13, 2015-19



Graph 2. Cuba Influenza and RSV distribution, EW 12, 2015-19
Distribución de virus influenza y VRS, SE 13, 2015-19



Graph 3. Cuba: Number of SARI cases with samples by EW, EW 12, 2014-2019
Número de casos de IRAG con muestras, por SE, SE 12, 2014-2019

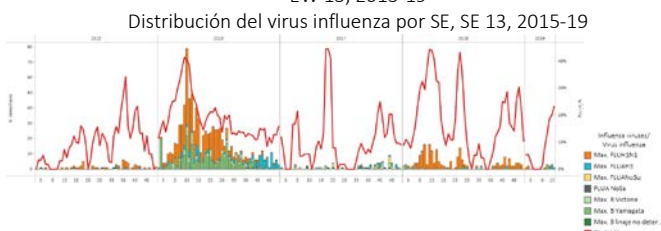


*To view more epi data, view [here](#). / Para ver más datos epi, vea [aquí](#).

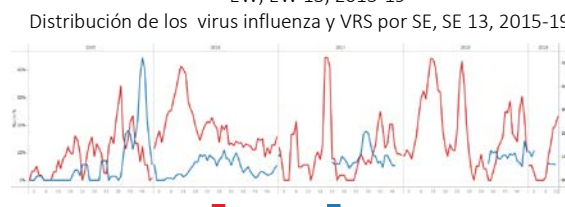
Dominican Republic / República Dominicana

- During EW 13, 2019 influenza detections increased (Graphs 1,3); and few RSV detections have been reported as well (Graph 2). The percentage of influenza positivity increased and was above the average epidemic curve (Graph 3). / En la SE 13, 2019 se reportaron mayores detecciones de influenza (Gráficos 1,3). También se reportó pocas detecciones de VRS (Gráfico 2). El porcentaje de positividad de la influenza aumentó y estuvo por encima de la curva epidémica promedio (Gráfico 3).

Graph 1. Dominican Republic: Influenza virus distribution by EW, EW 13, 2015-19
Distribución del virus influenza por SE, SE 13, 2015-19



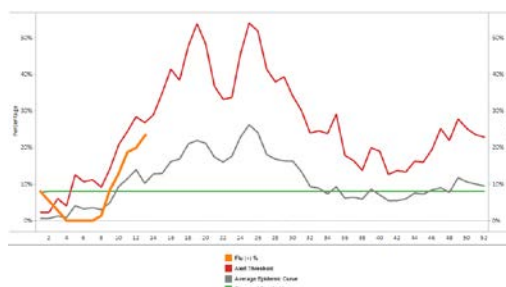
Graph 2. Dominican Republic Influenza and RSV distribution by EW, EW 13, 2015-19
Distribución de los virus influenza y VRS por SE, SE 13, 2015-19



Graph 3. Dominican Republic: Percent positivity for influenza, EW 13, 2019 (in comparision to 2010-2018)

Porcentaje de positividad de influenza, SE 13, 2019

(en comparación a 2010-2018)



*To view more epi data, view [here](#). / Para ver más datos epi, vea [aquí](#).

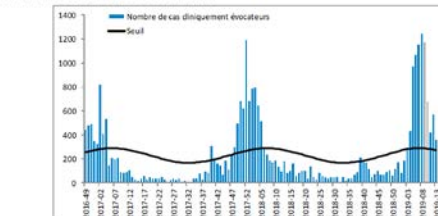
French Territories / Territorios Franceses

- During EW 13, ILI case counts decreased in Guadeloupe (Graph 1); in Martinique, ILI activity reached levels observed during pre-carnival weeks with a downward slope in EW 13 (Graph 2). In Saint-Barthelemy, during EW 13, the number of ILI consultations decreased (Graph 3), likewise, in Saint-Martin, ILI activity decreased (Graph 4). / Durante la SE 13, el conteo de casos de ETI disminuyeron en Guadalupe (Gráfico 1); en Martinica, la actividad de ILI alcanzó el nivel observado durante las semanas previas al carnaval con una pendiente decrescente en SE 13 (Gráfico 2). En San Bartolomé, durante la SE 13, el número de consultas por ETI disminuyó (Gráfico 3), así como en la Isla de San Martín, la actividad de ETI disminuyó también (Gráfico 4).

Graph 1. Guadeloupe: Number of ambulatory consultations for ILI, EW 13, 2016-2019

Número de consultas ambulatorias por ETI, SE 13, 2016-2019

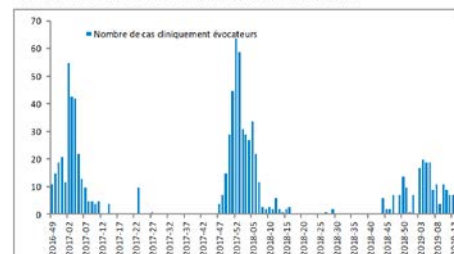
Nombre de consultations en médecine de ville pour syndrome grippal et seuil saisonnier, Guadeloupe, décembre 2016 à mars 2019 - Source : réseau des médecins sentinelles



Graph 3. Saint-Barthelemy: Number of ambulatory consultations for ILI, EW 13, 2016-2019

Número de consultas ambulatorias por ETI, SE 13, 2016-2019

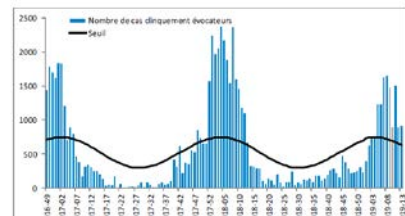
Nombre de consultations en médecine de ville pour syndrome grippal, Saint-Barthelemy, décembre 2016 à mars 2019 - Source : réseau des médecins sentinelles



Graph 2. Martinique: Number of ambulatory consultations for ILI, EW 13, 2016-2019

Número de consultas ambulatorias por ETI, SE 13, 2016-2019

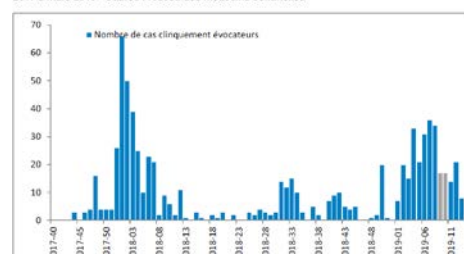
Nombre estimé de consultations pour syndrome grippal chez un médecin généraliste et seuil saisonnier, Martinique, décembre 2016 à mars 2019 - Source : réseau de médecins sentinelles



Graph 4. Saint-Martin: Number of ambulatory consultations for ILI, EW 13, 2016-2019

Número de consultas ambulatorias por ETI, SE 13, 2016-2019

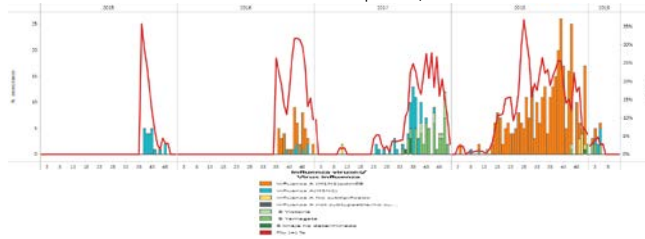
Nombre de consultations en médecine de ville pour syndrome grippal, Saint-Martin, octobre 2017 à mars 2019 - Source : réseau des médecins sentinelles



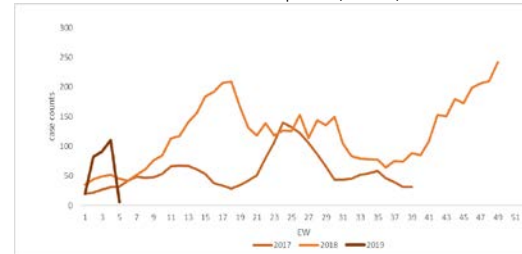
Haiti

- During EW 11, and in recent weeks, no influenza activity was reported (Graph 1). From EW 5 to EW 10 the number of SARI hospitalizations decreased substantially and was lower than the levels observed in the 2017-2018 seasons for the same period (Graph 2). / En la SE 11 y en las semanas previas, no se reportó actividad de influenza (Gráfico 1). Desde la SE 5 hasta la SE 10, el número de hospitalizaciones por IRAG disminuyó de manera importante y se ubicó por debajo de los niveles observados en las temporadas 2017-2018 para el mismo período (Gráfico 2).

Graph 1. Haiti: Influenza virus distribution by EW, EW 11, 2015-19
Distribución de virus influenza por SE, SE 11 2015-19



Graph 2. Haiti: Number of SARI cases, EW 10, 2017-2019
Número de casos de IRAG por SE, SE 10, 2017-2019

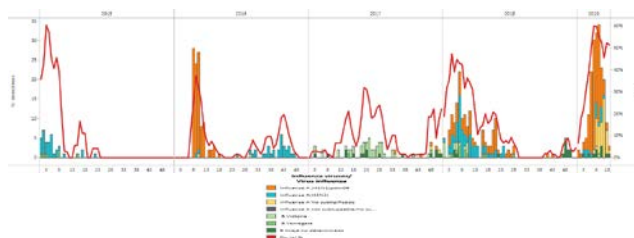


*To view more epi data, view [here](#). / Para ver más datos epi, vea [aquí](#).

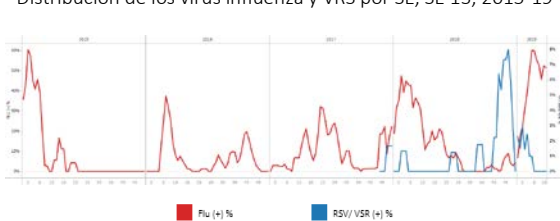
Jamaica

- Influenza detections peaked during EW 7; slightly decreased activity was reported during EW 13 with influenza A and B co-circulating (Graphs 1,3). No RSV activity was reported during EW 6 to EW 13 (Graph 2). The number of SARI hospitalizations remained stable and was lower than levels seen in most of the previous seasons for the same period (Graph 4). ARI case counts decreased and were lower than the levels in previous seasons (Graph 5). During EW 7 to EW 12, the count of pneumonia cases slightly increased and was above the level of the previous seasons (2015-18) for the same period (Graph 6) / Después de alcanzar su máxima actividad en la SE 7, las detecciones de influenza disminuyeron en la SE 13 en comparación con las semanas anteriores, con influenza A y B circulando simultáneamente (Gráficos 1,3). No se reportó actividad de VRS durante la SE 6 a la SE 13 (Gráfico 2). El número de hospitalizaciones por IRAG se mantuvo estable durante esta SE y fue inferior al nivel de las temporadas anteriores para el mismo período (Gráfico 4). Los recuentos de casos de IRA disminuyeron y fueron inferiores al nivel de temporadas anteriores (Gráfico 5). De la SE 7 a la SE 12, el recuento de casos de neumonía aumentó ligeramente y estuvo por encima del nivel de las temporadas anteriores para el mismo período (Gráfico 6)

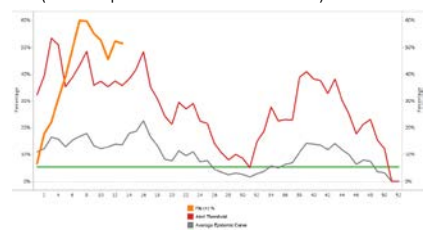
Graph 1. Jamaica: Influenza virus distribution by EW, EW 13, 2015-19
Distribución de virus influenza por SE, SE 13, 2015-19



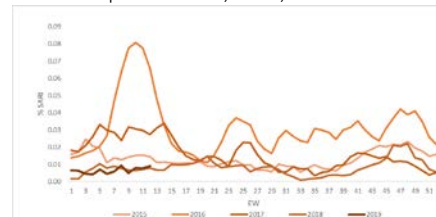
Graph 2. Jamaica: Influenza and RSV virus distribution by EW, EW 13, 2015-19
Distribución de los virus influenza y VRS por SE, SE 13, 2015-19



Graph 3. Jamaica: Percent positivity for influenza, EW 13, 2019
(in comparison to 2010-2018)
Porcentaje de positividad de influenza, SE 13, 2019
(en comparación con 2010-2018)

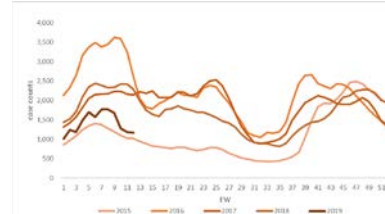


Graph 4. Jamaica: Number of SARI hospitalizations among total hospitalizations, EW 12, 2015-2019
Número de hospitalizaciones por IRAG entre el total de hospitalizaciones, SE 12, 2015-2019

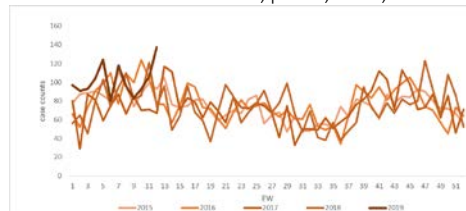


Graph 5. Jamaica: Number of ARI cases, EW 12, 2019
(compared to 2015-2018)

Número de casos de IRA, SE 12, 2019 (en comparación con 2015-2018)

**Graph 6.** Jamaica: Number of pneumonia cases by EW;
EW 12, 2015-2019

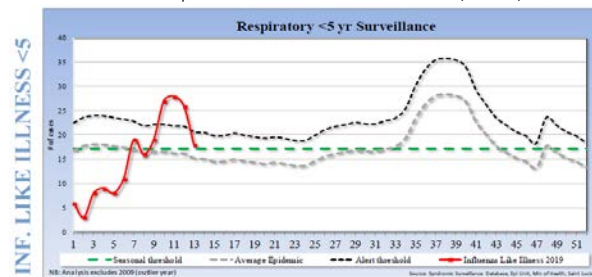
Conteo de casos de neumonía, por SE; SE 12, 2015-2019

*To view more epi data, view [here](#). / Para ver más datos epi, vea [aquí](#).**Saint Lucia**

- During EW 13, ILI cases decreased after peaking on EW 11; the number of cases with respiratory symptoms among children under 5 years of age surpassed the seasonal threshold (Graph 1). / Durante la SE 13, los casos de ETI disminuyeron luego de un pico en SE 11; el número de casos con síntomas respiratorios en niños menores de 5 años superó el umbral de temporada (Gráfico 1).

Graph 1. Saint Lucia: ILI cases distribution by EW
among the < 5 years of age, EW 13, 2014-19

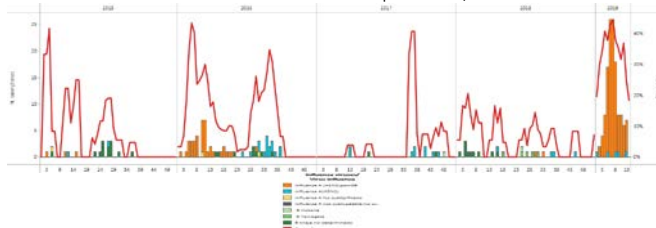
Distribución de ETI por SE entre los <5 años de edad, SE 13, 2014-19

*To view more epi data, view [here](#). / Para ver más datos epi, vea [aquí](#).**Suriname**

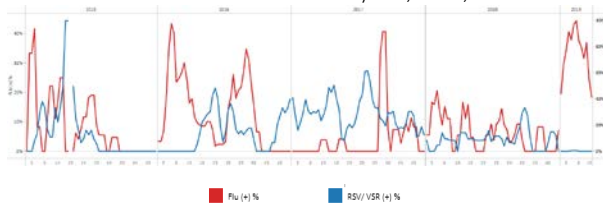
- During EW 13, influenza activity decreased from previous weeks and was below the alert threshold, with influenza A(H1N1)pdm09 predominance (Graphs 1,3); no RSV circulation was reported (Graph 2). In EW 13, ILI case counts decreased and were below the levels of previous seasons for the same period (2015-18); overall, SARI-related hospitalizations decreased and remained higher than levels observed in most of the previous seasons for the same period (Graphs 4,5). / En la SE 13, la actividad de influenza disminuyó con relación a las semanas anteriores y se ubicó por debajo del umbral de alerta, con predominio de influenza A(H1N1)pdm09 (Gráficos 1,3); no se reportó circulación de VRS (Gráfico 2). El recuento de casos de ETI disminuyó y estuvo por debajo de los niveles de temporadas anteriores para el mismo período (2015-18); en general, las hospitalizaciones por IRAG disminuyeron y se mantuvieron más altas que los niveles observados en temporadas anteriores para el mismo período (Gráficos 4,5).

Graph 1. Suriname: Influenza virus distribution by EW 13, 2015-19

Distribución de virus influenza por SE 13, 2015-19

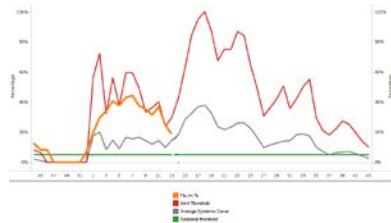
**Graph 2.** Suriname: Influenza and RSV distribution, EW 13, 2015-19

Distribución de los virus influenza y VRS, SE 13, 2015-19

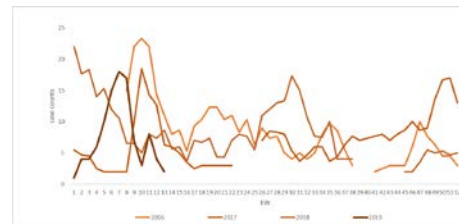


Graph 3. Suriname: Percent positivity for influenza, EW 13, 2019
(in comparision to 2010-2018)

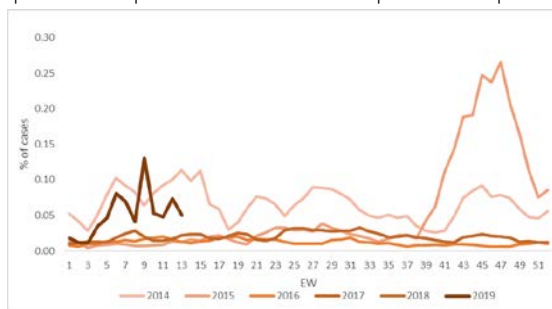
Porcentaje de positividad de influenza, SE 13, 2019
(en comparación con 2010-2018)



Graph 4. Suriname: Number of ILI cases, by age and EW, EW 13, 2019
Número de casos de ETI, por grupo de edad, por SE, SE 13, 2019



Graph 5. Suriname: Percentage of SARI hospitalizations per total hospitalizations, by EW; EW 13, 2014-2019
Porcentaje de hospitalizaciones por IRAG entre todas las hospitalizaciones por SE; SE 13, 2014-2019



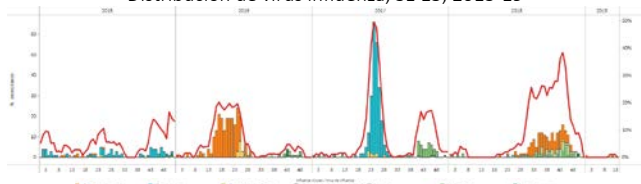
*To view more epi data, view [here](#). / Para ver más datos epi, vea [aquí](#).

Central America / América Central

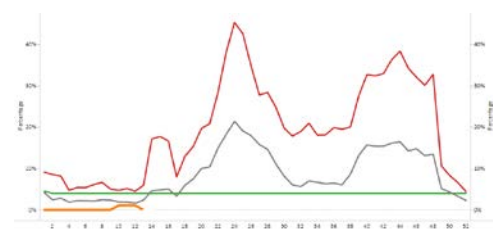
El Salvador

- During EW 13, 2019 influenza positivity has been low since EW 8 and was below the average epidemic curve (Graphs 1,2,3). From EW 44, 2018 to EW 13, 2019, RSV detections slightly increased (Graph 2). In EW 13, the percentage of SARI cases and pneumonia case counts steadily decreased as compared to previous weeks and was above the levels observed in the seasons 2016-18 (Graphs 4,5). / En la SE 13, 2019, la positividad de influenza ha sido baja desde la SE 8 y estuvo bajo la curva epidémica promedio (Gráficos 1,2,3). De la SE 44, 2018 a la SE 13, 2019, las detecciones de VRS aumentaron ligeramente (Gráfico 2). En la semana 13, el porcentaje de casos de IRAG y el número de casos de neumonía disminuyó de manera constante en comparación con las semanas anteriores y estuvo por encima de los niveles observados en las temporadas 2016-18 (Gráficos 4,5)

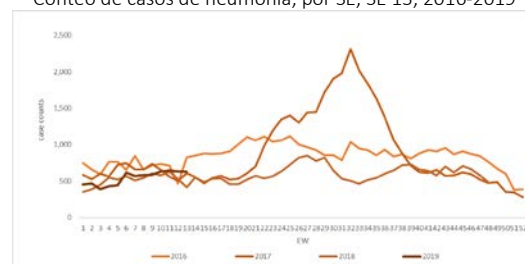
Graph 1. El Salvador: Influenza virus distribution, EW 13 2015-19
Distribución de virus influenza, SE 13, 2015-19



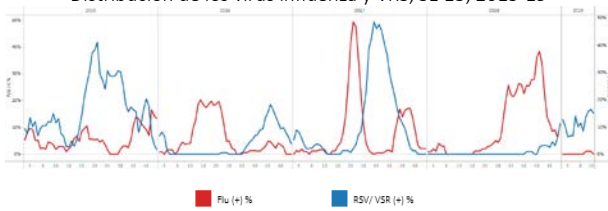
Graph 3. El Salvador: Percent positivity for influenza,
EW 13, 2019 (in comparison to 2010-2018)
Porcentaje de positividad de influenza, SE 13, 2019
(en comparación con 2010-2018)



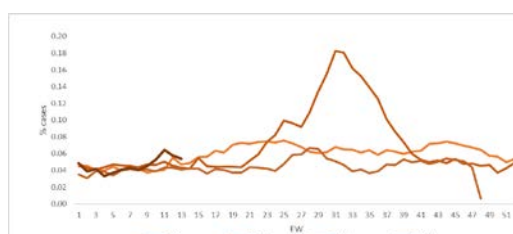
Graph 5. El Salvador: Number of pneumonia cases by EW; EW 13, 2016-2019
Conteo de casos de neumonía, por SE; SE 13, 2016-2019



Graph 2. El Salvador: Influenza and RSV distribution, EW 13, 2015-19
Distribución de los virus influenza y VRS, SE 13, 2015-19



Graph 4. El Salvador: Percentage of SARI cases out of total hospitalizations, by EW, 2019. EW 13 (in comparison to 2016-2018)
Porcentaje de casos de IRAG de todas las hospitalizaciones por SE;
SE 13, 2019 (en comparación con 2016-2018)



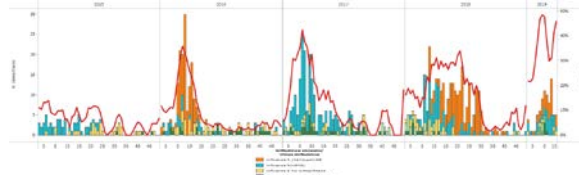
*To view more epi data, view [here](#). / Para ver más datos epi, vea [aquí](#).

Guatemala

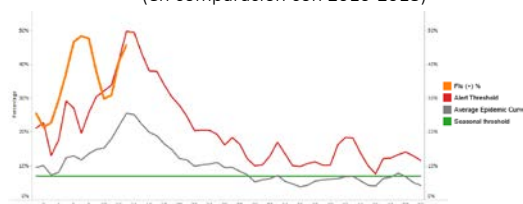
- During EW 13, influenza activity continued increasing with influenza A(H3N2) predominance and influenza B co-circulating (Graph 1); RSV activity remained low compared to previous weeks, although parainfluenza and metapneumovirus co-circulated (Graph 2). In EW 13, influenza positivity increased and approached the alert threshold (Graph 3); the percentage of SARI cases among all hospitalizations remained below the level of 2010-18 seasons (Graph 4). Overall, during EW 13, pneumonia and ARI activity slightly decreased compared to the previous week and remained low. / Durante la SE 13, la actividad de influenza continuó aumentando con el predominio de influenza A (H3N2) y la circulación simultánea de influenza B (Gráfico 1). La actividad de VRS se mantuvo baja en comparación con las semanas

anteriores, aunque parainfluenza y metapneumovirus circularon simultáneamente (Gráfico 2). En la SE 13, la positividad de la influenza aumentó y se acercó al umbral de alerta (Gráfico 3); el porcentaje de casos de IRAG entre todas las hospitalizaciones se mantuvo por debajo del nivel de las temporadas 2010-18 (Gráfico 4). En general, durante la SE 13, la neumonía y la actividad de IRA disminuyeron ligeramente en comparación con la semana anterior y se mantuvieron por debajo de los niveles reportados en las temporadas 2017-18 (Gráficos 5,6)

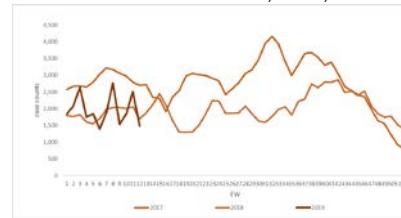
Graph 1. Guatemala: Influenza virus distribution EW 13, 2015-19
Distribución de influenza SE 13, 2015-19



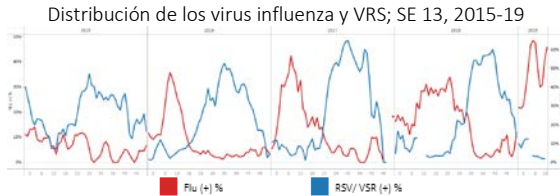
Graph 3. Guatemala: Percent positivity for influenza; EW 13, 2019
(in comparison to 2010-2018)
Porcentaje de positividad de influenza, SE 13, 2019
(en comparación con 2010-2018)



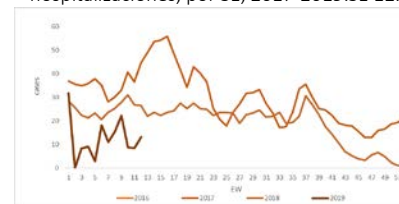
Graph 5. Guatemala: Number of pneumonia cases,
EW 12, 2017-2019
Número de casos de neumonía, SE 12, 2017-2019



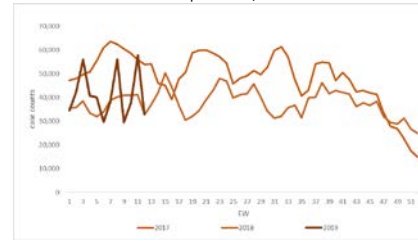
Graph 2. Guatemala: Influenza and RSV distribution,
EW 13, 2015-19
Distribución de los virus influenza y VRS; SE 13, 2015-19



Graph 4. Guatemala: % SARI hospitalizations per total
hospitalizations, by EW, 2017-2019.EW 12.
Porcentaje de hospitalizaciones por IRAG entre todas las
hospitalizaciones, por SE, 2017-2019.SE 12.



Graph 6. Guatemala: Number of ARI cases, EW 12, 2017-2019
Número de casos por IRA, SE 12 2017-2019

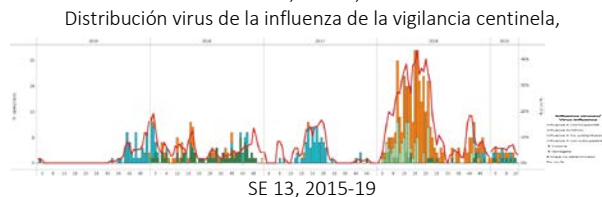


*To view more epi data, view [here](#). / Para ver más datos epi, vea [aquí](#).

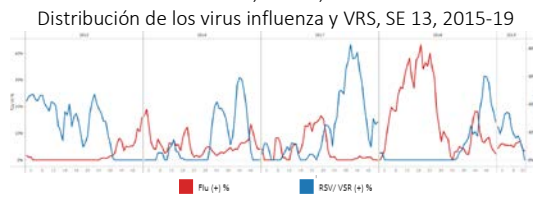
Honduras

- During EW 10 to EW 13, low influenza activity was reported by sentinel sites (Graphs 1,2,3). Graph 2 shows a steady decrease in RSV activity after a first peak in EW 48 and a smaller second peak in EW 5 and 6, 2019. RSV activity has decreased in EW 13. During EW 13, the counts of SARI cases (2) decreased as compared to the previous weeks and remained lower than the levels of the 2012-18 seasons; all SARI cases were in children younger than 5 years (Graph 4). / De la SE 10 a la SE 13, los sitios centinela informaron baja actividad de influenza (Gráficos 1,2,3). El gráfico 2 muestra una disminución constante en la actividad del VRS después de alcanzar un primer pico en la SE 48 y un segundo pico menor en las SE 5 y 6, 2019. La actividad de VSR parece haber disminuido en la SE 13. Durante la SE 13, los recuentos de casos de IRAG (2) disminuyeron en comparación con las semanas anteriores y se mantuvieron más bajos que los niveles de las temporadas 2012-18; todos los casos de IRAG fueron en niños menores de 5 años (gráfico 4).

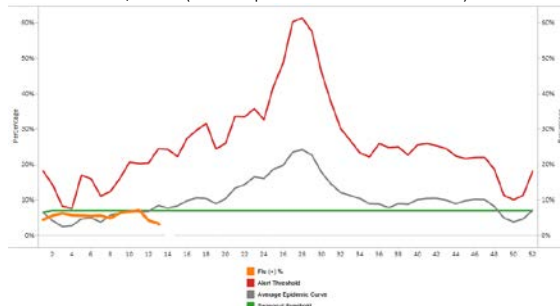
Graph 1. Honduras: Influenza virus distribution from sentinel
surveillance, EW 13, 2015-19
Distribución virus de la influenza de la vigilancia centinela,



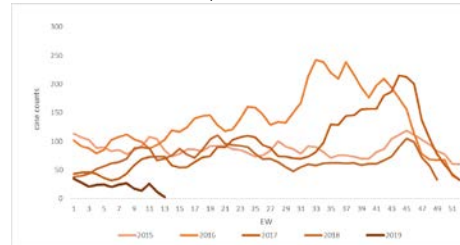
Graph 2. Honduras: Influenza and RSV distribution form sentinel
surveillance, EW 13, 2015-19
Distribución de los virus influenza y VRS, SE 13, 2015-19



Graph 3. Honduras : Percent positivity for influenza, from sentinel surveillance; EW 13, 2019 (in comparision to 2010-2018)
Porcentaje de positividad de influenza, de la vigilancia centinela; SE 13, 2019 (en comparación con 2010-2018)



Graph 4. Honduras: Number of SARI cases out of total hospitalizations, EW 13, 2015-2019
Número de casos de IRAG de todas hospitalizaciones; SE 13, 2015-2019



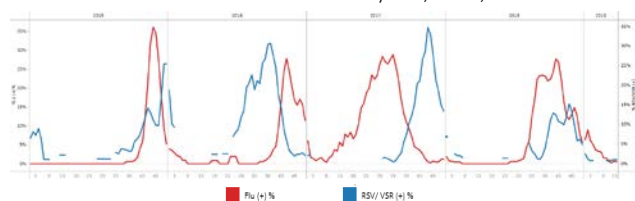
Nicaragua

- During EW 5 to EW 13, 2019, low influenza and RSV activity were reported by sentinel sites (Graphs 1,2,3). Pneumonia case counts slightly decreased in EW 10, and remained below the levels observed in the previous seasons (2013-18) (Graph 4). The SARI case counts from sentinel surveillance increased in EW 10 compared to the previous week and remained above previous seasons' levels (Graph 5). / En general, de la SE 5 a la SE 13 de 2019, los sitios centinela informaron baja actividad de influenza y del VRS (Gráficos 1,2,3). Los casos de neumonía disminuyeron ligeramente en la SE 10, pero se mantuvieron por debajo de los niveles observados en las temporadas anteriores (2013-18) (Gráfico 4). Los recuentos de casos de IRAG a partir de la vigilancia centinela aumentaron en la SE 10 en comparación con la semana previa y se mantuvieron por encima de los niveles de temporadas anteriores (Gráfico 5).

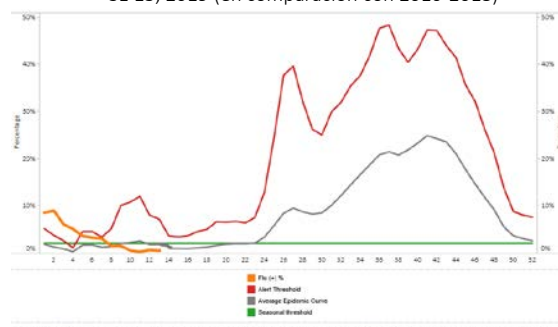
Graph 1. Nicaragua. Influenza virus distribution EW 13, 2015-19
Distribución de influenza SE 13, 2015-19



Graph 2. Nicaragua: Influenza and RSV distribution, EW 13, 2015-19
Distribución de los virus influenza y VRS, SE 13, 2015-19



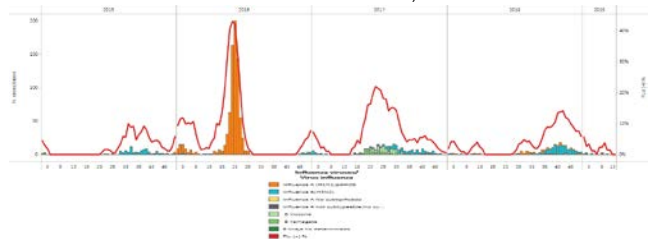
Graph 3. Nicaragua : Percent positivity for influenza, from sentinel surveillance; EW 13, 2019 (in comparision to 2010-2018)
Porcentaje de positividad de influenza de la vigilancia centinela;
SE 13, 2019 (en comparación con 2010-2018)



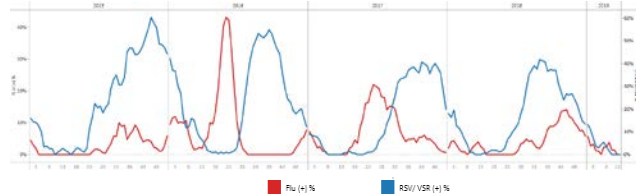
The averaging methodology to determine the alert threshold and epidemic curve references the methodologies in the WHO Global Epidemiological Surveillance Standards for Influenza (2014). The influenza percent positivity is calculated using the three-week averaging method.
La metodología de promedios para determinar el umbral de alarma y la curva epidémica hace referencia a la metodología descrita en los Estándares Globales de Vigilancia Epidemiológica para influenza (2014). El porcentaje de positividad se calcula utilizando el método de promedio de 3 semanas.

- During EW 13, 2019, at the national level, no influenza or RSV activity was reported (Graphs 1,2,3). / En la SE 13 de 2019, a nivel nacional, no se reportó actividad de influenza ni de VRS (Gráficos 1,2,3).

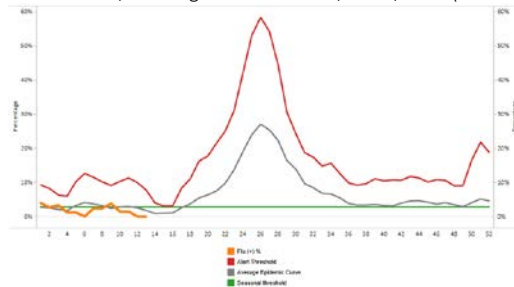
Graph 1. Panama: Influenza virus distribution EW 13, 2015-2019
Distribución de influenza EW 13, 2015-2019



Graph 2. Panama: Influenza and RSV distribution, EW 13, 2015-2019
Distribución de virus influenza y VRS, EW 13, 2015-2019



Graph 3. Panama: Percent positivity for influenza,from sentinel surveillance, EW 13, 2019 (in comparision to 2010-2018)
Porcentaje de positividad de influenza, de la vigilancia centinela, SE 13, 2019 (en comparación con 2010-2018)



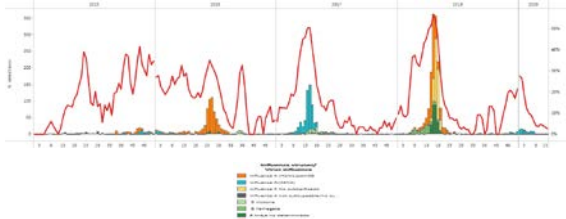
The averaging methodology to determine the alert threshold and epidemic curve references the methodology in the WHO Global Epidemiological Surveillance System for influenza (2014). The influenza percent positivity is calculated using the 3-weeks averaging method.
La metodología de promedios para determinar el umbral de alerta y la curva epidémica hace referencia a la metodología establecida en los Sistemas Globales de Vigilancia Epidemiológica para influenza (2014). El porcentaje de positividad es calculado usando el método de promedios de tres semanas.

*To view more epi data, view [here](#). / Para ver más datos epi, vea [aquí](#).

Bolivia

- During EW 13, 2019 influenza activity decreased from the previous week and continued below the average epidemic curve (Graphs 1,2,3); reported RSV activity was low (Graph 2). The percentage of SARI cases slightly increased and remained above the levels observed in 2017-2018 seasons for the same period (Graph 4); Durante la SE 13, 2019 la actividad de influenza disminuyó con respecto a la semana anterior y continuó por debajo de la curva epidémica promedio (Gráficos 1,2,3); la actividad de VRS reportada fue baja (gráfico 2). El porcentaje de casos de IRAG aumentó ligeramente y se mantuvo por encima de los niveles observados en las temporadas 2017-2018 para el mismo período (Gráfico 4)

Graph 1. Bolivia. Influenza virus distribution EW 13, 2015-19
Distribución de influenza SE 13, 2015-19

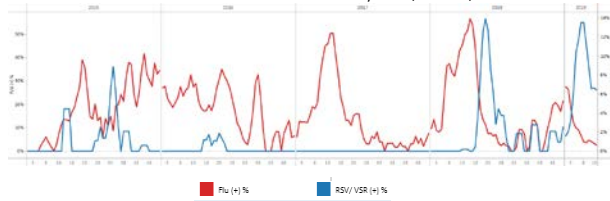


Graph 3. Bolivia: Percent positivity for influenza, EW 13, 2018-19
(in comparision to 2010-2018)
Porcentaje de positividad de influenza, SE 13, 2018-19
(en comparación con 2010-2018)



The average continuing influenza season distribution is used to determine the methodology in the WHO Global Epidemiological Surveillance System for influenza (GESI). The chart uses sentinel activity as defined by the Disease Early Warning System (DEWS).

Graph 2. Bolivia: Influenza and RSV distribution, EW 13, 2015-19
Distribución de los virus influenza y VRS, SE 13, 2015-19



Graph 4. Bolivia: Percentage of SARI cases out of total hospitalizations,
EW 12, 2019
Porcentaje de casos IRAG del total de hospitalizaciones,
SE 12, 2019

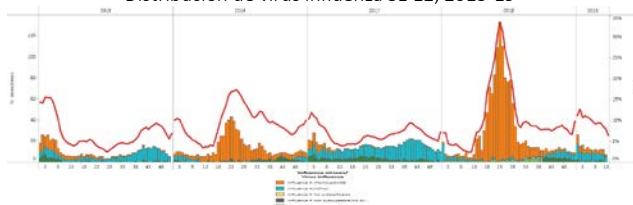


*To view more epi data, view [here](#). / Para ver más datos epi, vea [aquí](#).

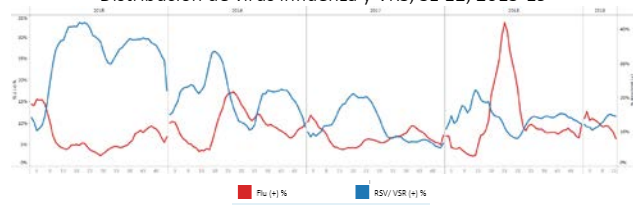
Colombia

- During EW 13, influenza activity decreased and was at the seasonal threshold, with influenza A(H3N2) and A(H1N1)pdm09 co-circulating (Graphs 1,3); RSV activity slightly decreased compared with previous weeks (Graph 2). At the national level, SARI case counts decreased as compared to the previous seasons for the same period (Graph 4). Pneumonia activity slightly increased in recent weeks and was below most of the seasonal levels for the period; ARI activity increased as compared to previous week (Graphs 5,6). / Durante la SE 13, la actividad de influenza disminuyó y estuvo en el umbral estacional, con influenza A (H3N2) y A (H1N1) pdm09 circulando simultáneamente (Gráficos 1,3); el VRS disminuyó ligeramente en comparación con las semanas anteriores (Gráfico 2). A nivel nacional, los recuentos de casos de IRAG disminuyeron en comparación con las temporadas anteriores para el mismo período (Gráfico 4). La actividad de la neumonía aumentó ligeramente en las últimas semanas y estuvo por debajo de la mayoría de los niveles estacionales del período; la actividad de IRA aumentó en comparación con la semana anterior (Gráficos 5,6).

Graph 1. Colombia. Influenza virus distribution EW 12, 2015-19
Distribución de virus influenza SE 12, 2015-19



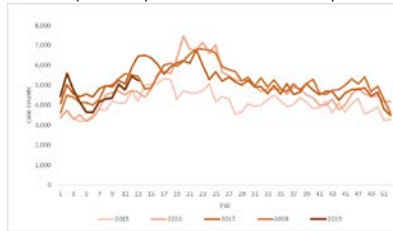
Graph 2. Colombia: Influenza and RSV distribution, EW 12, 2015-19
Distribución de virus influenza y VRS, SE 12, 2015-19



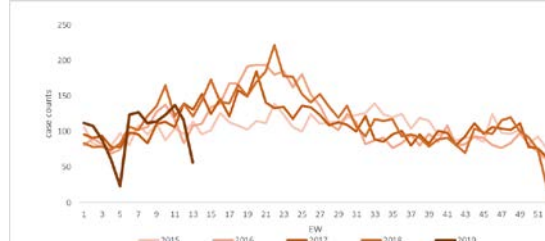
Graph 3. Colombia: Percent positivity for influenza, EW 12, 2018-19
(in comparision to 2010-2018)
Porcentaje de positividad de influenza, EW 12, 2018-19 (in comparision to 2010-2018)



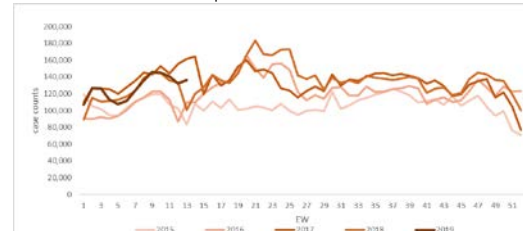
Graph 5. Colombia: Number of pneumonia-related hospitalizations, by EW 13, 2019 (in comparison with 2015-18)
Número de hospitalizaciones asociadas a neumonía, por SE 13, 2019 (en comparación con 2015-18)



Graph 4. Colombia: Number of SARI cases, EW 13, 2019
(in comparison to 2015-2018)
Número de casos de IRAG, SE 13, 2019 (en comparación a 2015-2018)



Graph 6. Colombia: Number of ARI cases, EW 13, 2019
(from all consultations), in comparison with 2015-18
Número de casos de IRA, SE 13, 2019 (de todas consultas), en comparación con 2015-18



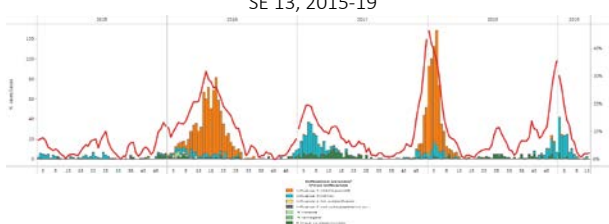
*To view more epi data, view [here](#). / Para ver más datos epi, vea [aquí](#).

Ecuador

- Overall, during EW 13 influenza activity decreased compared with previous weeks, although percent positivity for influenza was above the seasonal threshold (Graphs 1,3). RSV activity steadily increased since EW 43 (Graph 2). En general, en la SE 13 la actividad de influenza disminuyó en comparación con las semanas previas aunque el porcentaje de positividad se situó por encima del umbral estacional (Gráficos 1,3). La actividad de VRS aumentó constantemente desde la SE 43 (Gráfico 2).

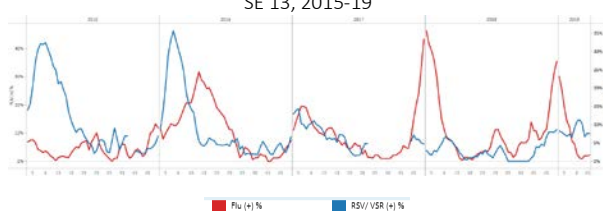
Graph 1. Ecuador: Influenza virus distribution from SARI sentinel cases by EW 13, 2015-19

Distribución de virus influenza de casos de IRAG centinela SE 13, 2015-19



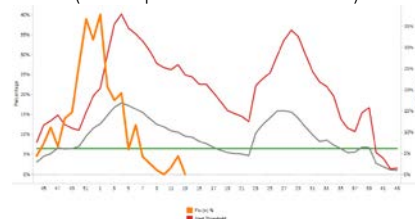
Graph 2. Ecuador: Influenza and RSV distribution from SARI sentinel cases, EW 13, 2015-19

Distribución de los virus influenza y VRS de casos de IRAG centinela, SE 13, 2015-19



Graph 3. Ecuador: Percent positivity for influenza,EW 13, 2019
(in comparision to 201-2018)

Porcentaje de positividad de influenza, SE 13, 2019
(en comparación con 2010-2018)

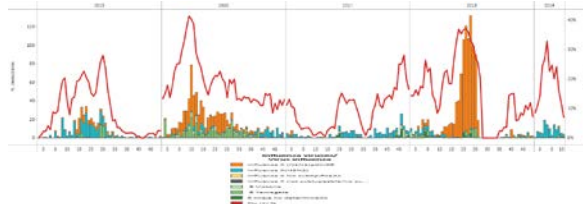


The averaging methodology to determine the past threshold and positive (non-reference) laboratory test methodology in the dengue clinical surveillance system for influenza (DIF) is the same as the one used for the weekly average influenza activity. La metodología para calcular el promedio móvil para establecer el umbral pasados y la metodología para determinar los resultados positivos (no-referencia) de los exámenes de laboratorio en el sistema de vigilancia clínica para dengue (DIF) es la misma que la utilizada para la actividad semanal de influenza.

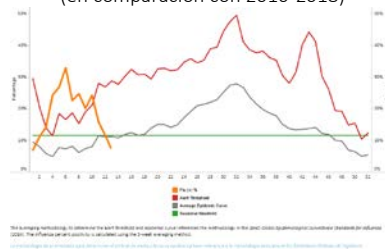
*To view more epi data, view [here](#). / Para ver más datos epi, vea [aquí](#).

- During EW 13, influenza activity decreased as compared to previous seasons for the same period (2015-18) (Graph 1). RSV activity continued to be low during EW 13 (Graph 2). Percent positivity for influenza decreased compared to previous weeks and dropped below the alert threshold, with influenza A(H3N2) predominance (Graph 3). At the national level, SARI case counts among all hospitalizations increased as compared to the previous weeks (Graph 4). At the national level, ILI case counts decreased compared with the previous week and were below the levels observed in 2016-2018 for the same period (Graph 5). Pneumonia case counts among children < 5 years remained at the same level as the previous week and were lower than the counts reported in 2017 for the same period (Graph 6). / En la SE 13, la actividad de influenza disminuyó comparado con las temporadas anteriores para el mismo período (2015-18) (Gráfico 1). La actividad del VRS permaneció baja en la SE 13 (Gráfico 2). El porcentaje de muestras positivas para influenza disminuyó comparado con las semanas previas y cayó por debajo del umbral de alerta, con predominancia de influenza A(H3N2) (Gráfico 3). A nivel nacional, el número de casos de IRAG entre el total de hospitalizaciones aumentó con respecto a las semanas previas (Gráfico 4). En la SE 13, a nivel nacional, el conteo de casos de ETI disminuyó en comparación con la semana previa y estuvo por debajo de los niveles observados en 2016-2018 para el mismo período (Gráfico 5). El conteo de casos de neumonía en niños menores de 5 años permaneció en el mismo nivel que el de la semana anterior y fue menor que los conteos reportados en 2017 para el mismo período (Gráfico 6).

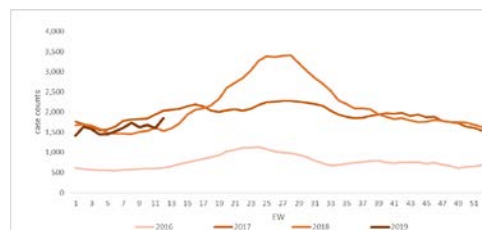
Graph 1. Peru: Influenza virus distribution by EW 13, 2015-19
Distribución de virus influenza por SE 13, 2015-19



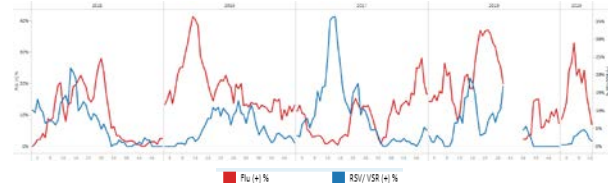
Graph 3. Peru: Percent positivity for influenza, EW 13, 2019
(in comparison to 2010-2018)
Porcentaje de positividad de influenza, EW 13, 2019
(en comparación con 2010-2018)



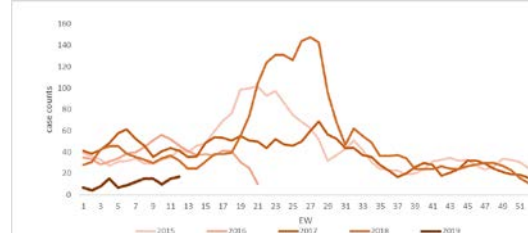
Graph 5. Peru: Pneumonia cases in children under 5 years,
EW 12, 2016-2019
Casos de neumonía en niños menores de 5 años,
SE 12, 2016-2018



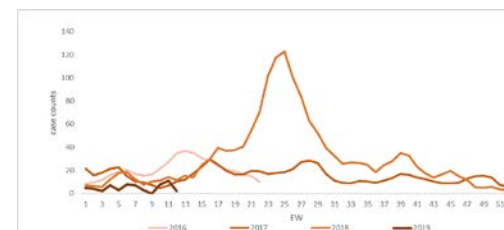
Graph 2. Peru: Influenza and RSV distribution, EW 13, 2015-19
Distribución de virus influenza y VRS, SE 13, 2015-19



Graph 4. Peru: Number of SARI cases, by EW 12, 2015-2019
Número de casos IRAG, SE 12, 2015-2019



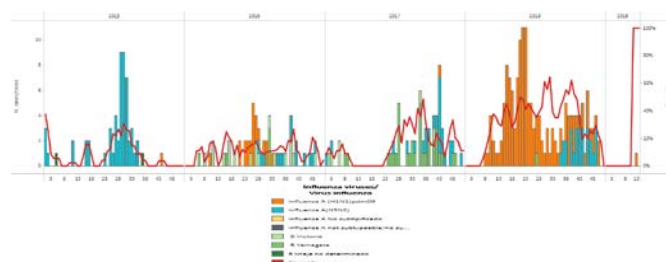
Graph 6. Peru: Number of ILI cases, EW 12, 2019,
in comparison to 2016-18
Número de casos ETI, SE 12, 2019, en comparación con 2016-18



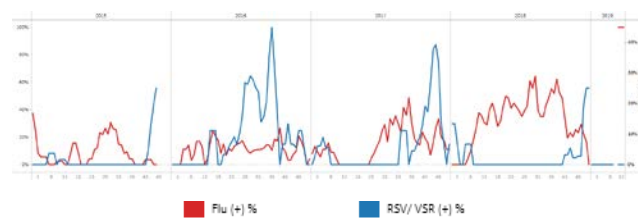
*To view more epi data, view [here](#). / Para ver más datos epi, vea [aquí](#).

- During EW 13, minimal detections of influenza was reported with influenza A(H1N1)pdm09 predominance (Graphs 1). From EW 42 to EW 52, RSV activity peaked and was higher than the levels reported in 2015-2017 for the same period, with no detections during 2019 (Graph 2). / En la SE 13, se reportaron minimas detecciones de influenza con predominio de influenza A(H1N1)pdm09 (Gráficos 1). Desde la SE 42 hasta la SE 52, la actividad de VRS llegó a su pico máximo y fue superior a los niveles reportados en 2015-2017 para el mismo periodo, sin detecciones en lo que va de 2019 (Gráfico 2).

Graph 1. Venezuela: Influenza virus distribution by EW 13, 2015-19
Distribución de virus influenza por SE 13, 2015-19



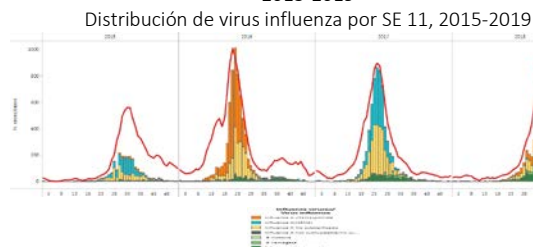
Graph 2. Venezuela: Influenza and RSV distribution, EW 13, 2015-19
Distribución de virus influenza y VSR, SE 13, 2015-19



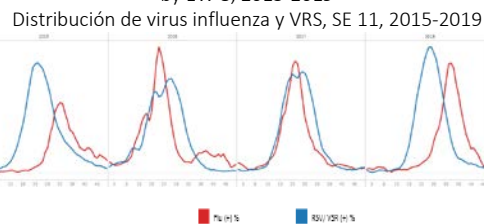
Argentina

- During EW 11 very low influenza activity was reported with influenza A predominance (Graphs 1, 2). RSV positivity increased and was comparable to the levels reported during the previous season for the same period (Graph 2), adenovirus and parainfluenza co-circulated. / Durante la SE 11, se notificó una actividad de influenza muy baja con predominio de influenza A (Gráficos 1, 2). La positividad del VRS aumentó y fue comparable a los niveles informados durante la temporada anterior para el mismo período (Gráfico 2), adenovirus y parainfluenza circularon simultáneamente.

Graph 1. Argentina - Influenza virus distribution by EW 11, 2015-2019



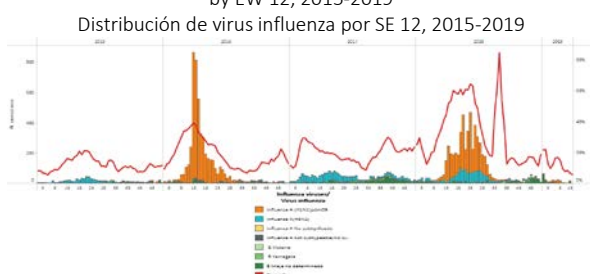
Graph 2. Argentina - Influenza and RSV distribution by EW 8, 2015-2019



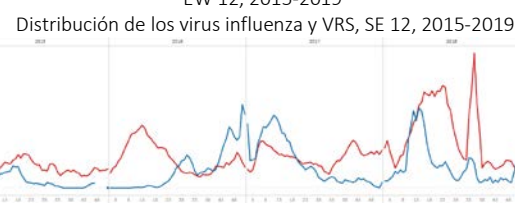
Brazil

- During EW 12, 2019, low influenza activity continued (Graphs 1,2). Overall RSV detections increased since EW 1, 2019, although decreased activity was observed in EW 11 compared with EW 10 (Graph 2). During EW 13, ILI activity at the sentinel sites remained low as compared to the 2015-2018 seasons (Graph 3). / Durante la SE 12, 2019, continuó baja la actividad de influenza (Gráficos 1,2). En general, las detecciones de VRS aumentaron desde la SE 1, 2019, aunque se observó una disminución de la actividad en la SE 11 en comparación con la SE 10 (Gráfica 2). Durante la SE 13, la actividad de ETI en los sitios centinela permaneció baja en comparación con las temporadas 2015-2018 (Grafico 3).

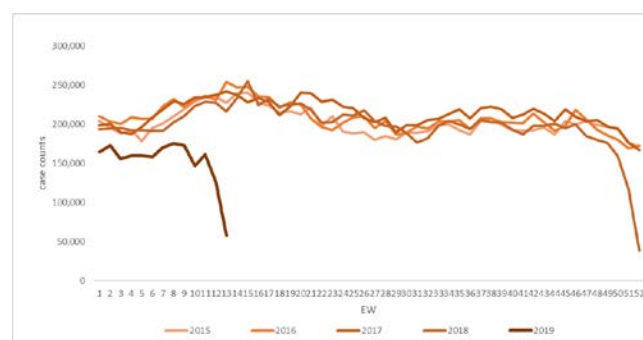
Graph 1. Brazil- All NICs. Influenza virus distribution by EW 12, 2015-2019



Graph 2. Brazil – All NICs: Influenza and RSV distribution, EW 12, 2015-2019



Graph 3. Brazil – Number of ILI cases, EW 13, 2019 in comparison to 2015-18
Número de casos de ETI, SE 13, 2019, en comparación con 2015-18

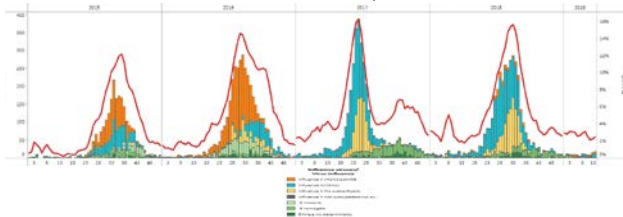


* Informe Influenza Sazonalidade Estado do Amazonas e Vacinação contra Influenza no Brasil.
Secretaria de Vigilância em Saúde – Ministério da Saúde

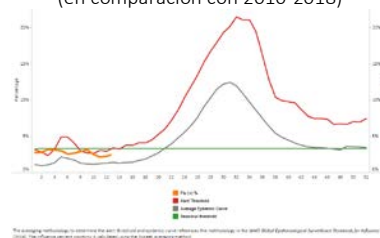
Chile

- During EW 13, influenza activity was very low (Graphs 1,3). RSV percent positivity remained very low, comparable to levels reported in 2015-18 seasons for the same period (Graph 2). Overall, at the national level, SARI case counts remained stable during EW 13 and below the level of previous seasons (2015-18) (Graph 4). ILI case counts slightly increased compared to the previous weeks and remained below the level of previous seasons for the same period (Graph 5). / En la SE 13, la actividad de la influenza fue muy baja (Gráficos 1,3). El porcentaje de positividad del VRS se mantuvo muy bajo, comparable a los niveles informados en las temporadas 2015-18 para el mismo período (Gráfico 2). En general, a nivel nacional, el recuento de casos de IRAG se mantuvo estable durante la SE 13 y por debajo del nivel de las temporadas anteriores (2015-18) (Gráfico 4). El recuento de casos de ETI aumentó ligeramente en comparación con las semanas anteriores y se mantuvo por debajo del nivel de las temporadas anteriores para el mismo período (Gráfico 5).

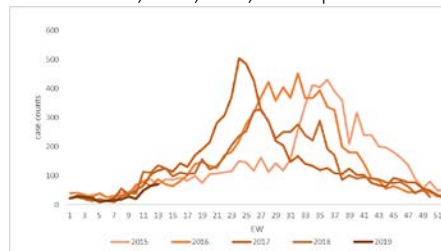
Graph 1. Chile: Influenza virus distribution by EW 13, 2015-19
Distribución de virus de influenza por SE 13, 2015-19



Graph 3. Chile: Baseline for the percent positivity for influenza, EW 13, 2019 (in comparison to 2010-2018)
Linea basal para el porcentaje de positividad de influenza, SE 13, 2019 (en comparación con 2010-2018)



Graph 5. Chile. Number of ILI cases, EW 13, 2019, in comparison 2013-18
Número de casos ETI, SE 13, 2019, en comparación con 2013-18

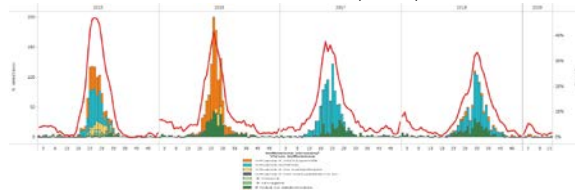


*To view more epi data, view [here](#). / Para ver más datos epi, vea [aquí](#).

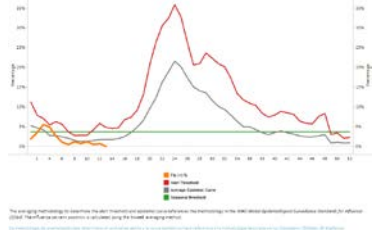
Paraguay

- Overall, during EW 13, 2019, reported influenza activity was very low as compared to previous weeks (Graphs 1,3); RSV positivity slightly decreased since EW 11, 2019 (Graph 2). In EW 13, accumulated number of SARI cases remained within the seasonal threshold (Graph 4); likewise, ILI case percentage was below seasonal threshold as compared with previous seasons (2016-2018) (Graph 5). / En general, durante la SE 13, 2019, la actividad de influenza reportada fue muy baja en comparación con las semanas anteriores (Gráficos 1,3); la positividad del VRS disminuyó ligeramente desde la SE 11, 2019 (Gráfico 2). En la SE 13, el número acumulado de casos de IRAG se mantuvo dentro del umbral estacional (Gráfico 4); del mismo modo, el porcentaje de casos de ETI estuvo por debajo del umbral estacional en comparación con las temporadas anteriores (2016-2018) (Gráfico 5).

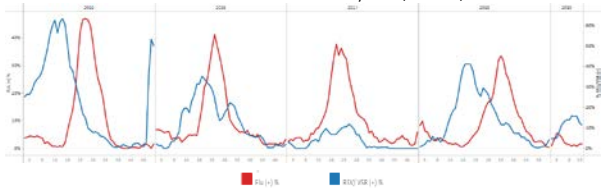
Graph 1. Paraguay: Influenza virus distribution EW 13, 2015-19
Distribución de virus de influenza, SE 13, 2015-19



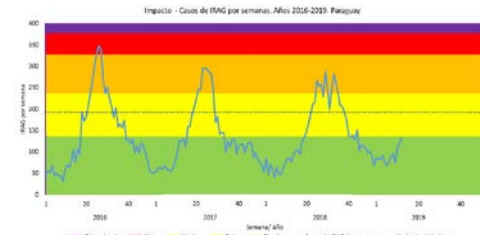
Graph 3. Paraguay: SARI sentinel sites: Baseline for the percent positivity for influenza, EW 13, 2019
(in comparision to 2010-2018)
Línea basal para el porcentaje de positividad de influenza, SE 13, 2019 (en comparación con 2010-2018)



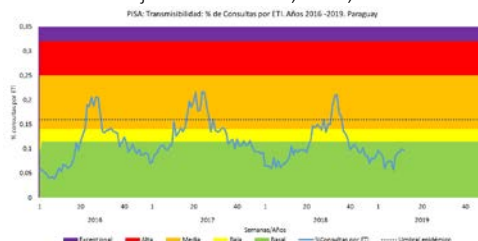
Graph 2. Paraguay: Influenza and RSV distribution, EW 13, 2015-19
Distribución de los virus influenza y VRS, SE 13, 2015-19



Graph 4. Paraguay: Number of SARI cases per EW, EW 13, 2019
(as compared to 2016-2018)
Número de casos de IRAG por SE,
SE 13, 2019 (en comparación con 2016-2018)



Graph 5. Paraguay: Percentage of ILI cases, EW 13, 2016-19
Porcentaje de casos de ETI, SE 13, 2016-19

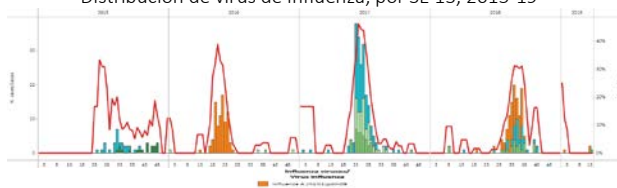


*To view more epi data, view [here](#). / Para ver más datos epi, vea [aquí](#).

Uruguay

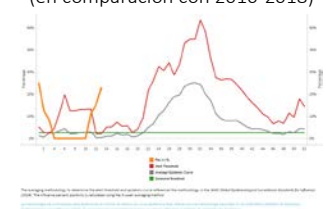
- During EW 13 very low influenza activity was reported (Graphs 1,2); RSV activity was not reported among SARI cases during EW 13 (Graph 1). The percentage of SARI cases remained below level of season 2017 for the same period (Graph 3). / En la SE 13 se reportó una actividad de influenza muy baja (Gráficos 1,2); no se informó actividad de VRS entre los casos de IRAG durante la SE 13 (Gráfico 1). El porcentaje de casos de IRAG permaneció por debajo del nivel de la temporada 2017 para el mismo período (Gráfico 3).

Graph 1. Uruguay: Influenza virus distribution by EW 13, 2015-19
Distribución de virus de influenza, por SE 13, 2015-19

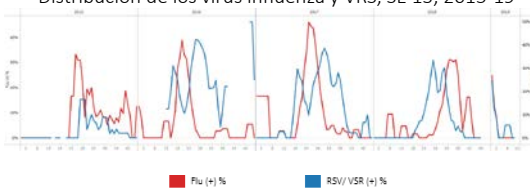


Graph 3. Uruguay: Percent positivity for influenza, EW 13, 2019
(in comparision to 2010-2018)

Porcentaje de positividad de influenza, SE 13, 2019
(en comparación con 2010-2018)

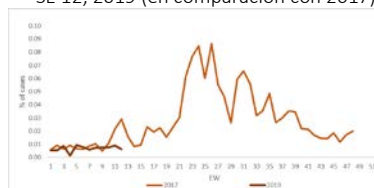


Graph 2. Uruguay: Influenza and RSV distribution, EW 13, 2015-19
Distribución de los virus influenza y VRS, SE 13, 2015-19



Graph 3. Uruguay: Percentage of SARI cases per total hospitalizations, EW 12, 2019 (as compared to 2017)

Porcentaje de casos de IRAG por el total de hospitalizaciones, SE 12, 2019 (en comparación con 2017)



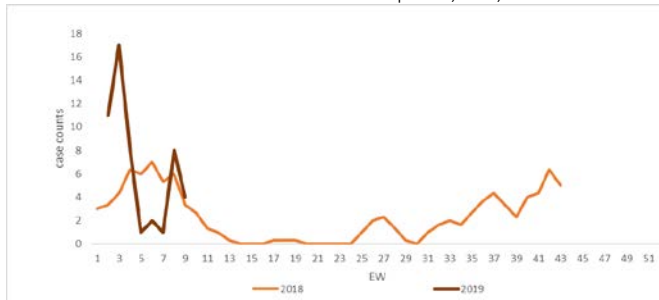
*To view more epi data, view [here](#). / Para ver más datos epi, vea [aquí](#).

More countries information / Más información de países

Aruba

- During EW 9, 2019, overall, SARI activity decreased and reached levels similar to the 2018 season for the same period (Graph 1). / En la SE 9 de 2019, en general la actividad de IRAG disminuyó y alcanzó niveles similares a los de la temporada 2018 para el mismo periodo (Gráfico 1).

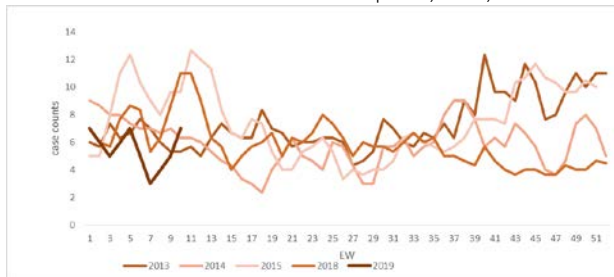
Graph 1. Aruba: Number of SARI cases with samples by EW, EW 9, 2018-2019,
Número de casos IRAG con muestra por SE, SE 9, 2018-2019



Barbados

- During EW 10, SARI activity increased although it was below the levels observed in the 2015 and 2018 seasons for the same period (Graph 1). / En la SE 10, la actividad de IRAG aumentó, aunque estuvo por debajo de los niveles observados en las temporadas 2015 y 2018 para el mismo período (Gráfico 1).

Graph 1. Barbados: Number of SARI cases with samples by EW, EW 10, 2013-19
Número de casos IRAG con muestra por SE, SE 10, 2013-19



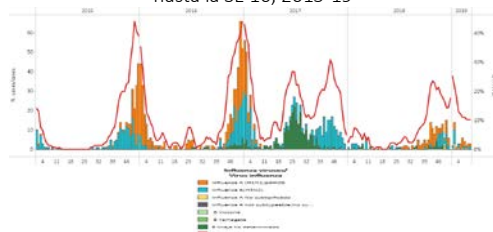
*To view more epi data, view [here](#). / Para ver más datos epi, vea [aquí](#).

Costa Rica

- During EW 10, influenza activity remained stable with influenza A(H1N1)pdm09 and influenza A(H3N2) co-circulating (Graph 1); the percentage of positivity for influenza was above the alert threshold compared with the level of previous seasons (2010-2018) for the same period (Graph 4). RSV activity continues increased as compared to previous weeks (Graph 2). During EW 10, the percentage of SARI cases was lower than previous weeks although higher than levels observed during most of the previous seasons for the same period (Graph 3). / Durante la SE 10, la actividad de influenza permaneció estable con influenza A(H1N1)pdm08 e influenza A(H3N2) circulando simultáneamente (Gráfico 1); el porcentaje de positividad para la influenza estuvo por encima del umbral de alerta en comparación con los niveles de temporadas previas (2010-2018) (Gráfico 4). La actividad de VRS continúa aumentada en comparación con las semanas previas (Gráfico 2). En la SE 10, el porcentaje de casos de IRAG fue menor en comparación con semanas previas aunque superior a los niveles de la mayoría de las temporadas anteriores para el mismo periodo (Gráfico 3).

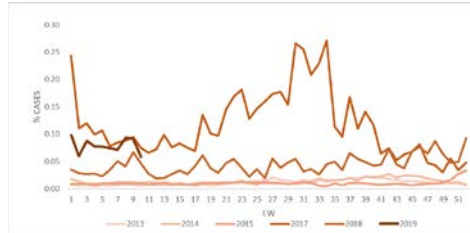
Graph 1. Costa Rica: Influenza virus distribution, Laboratory confirmed samples, by EW 10, 2015-19

Distribución de virus influenza confirmados por laboratorio hasta la SE 10, 2015-19



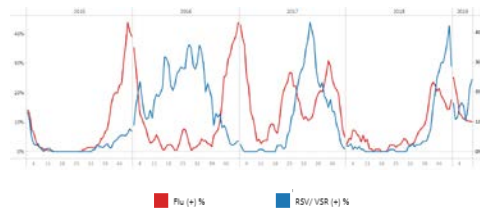
Graph 3. Costa Rica: Proportion of SARI cases of all hospitalizations in reporting sentinel sites by year. Costa Rica, EW 10, 2015-2019

Proporción de casos de IRAG del total de hospitalizaciones en sitios centinela reportado por año. Costa Rica, SE 10, 2015-2019



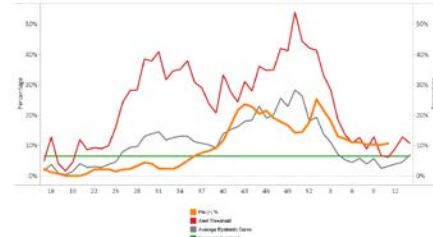
Graph 2. Costa Rica: Influenza and RSV distribution, EW 10, 2015-19

Distribución de los virus influenza y VRS; SE 10, 2015-19



Graph 4. Costa Rica: Percent positivity for influenza, EW 10, 2019
(in comparison to 2010-2018)

Porcentaje de positividad de influenza, SE 10, 2019
(en comparación con 2010-2018)



ACRONYMS

ARI	Acute Respiratory Infection
CARPHA	Caribbean Public Health Agency
CENETROP	Centro de Enfermedades Tropicales (Santa Cruz, Bolivia)
EW	Epidemiological Week
ILI	Influenza-like illness
INLASA	Instituto Nacional de Laboratorios de Salud (La Paz, Bolivia)
INS	Instituto Nacional de Salud
ORV	Other respiratory viruses
SARI	Severe acute respiratory infection
SEDES	Servicio Departamental de Salud (Bolivia)
ICU	Intensive Care Unit
RSV	Respiratory Syncytial Virus

ACRÓNIMOS

CARPHA	Agencia de Salud Pública del Caribe/Caribbean Public Health Agency
CENETROP	Centro de Enfermedades Tropicales (Santa Cruz, Bolivia)
ETI	Enfermedad Tipo influenza
INLASA	Instituto Nacional de Laboratorios de Salud (La Paz, Bolivia)
INS	Instituto Nacional de Salud
IRA	Infección Respiratoria Aguda
IRAG	Infección Respiratoria Aguda grave
OVR	Otros virus respiratorios
SE	Semana epidemiológica
SEDES	Servicio Departamental de Salud (Bolivia)
UCI	Unidad de Cuidados Intensivos
VRS	Virus Respiratorio Sincitial